

# FUNKCIJA NEODREĐENOSTI KOMPRESIVNOG PRIJEMNIKA

Aleksa J. Zejak, Institut IMTEL, B.Lenjina 165B, 11070 N. Beograd; e-mail: zejak@imtel.co.yu

Igor S. Simić, VP 4522, Beograd, e-mail: isimic@imtel.co.yu

**Sadržaj** - U radu se analizira funkcija neodredenosti kompresivnog prijemnika. Na osnovu relacija poznatih u radarskoj tehnici, izvedeni su izrazi za funkciju neodredenosti kompresivnog prijemnika koji opisuju njegove vremensko - frekvenčne karakteristike.

## I. UVOD

Dosadašnja interpretacija rada kompresivnog prijemnika zasnovala se na čirp transformaciji [1,2]. Međutim, na taj način nije moguće opisati sve pojave koje se u prijemniku dešavaju. Stoga je korisno analizirati analogiju između radara i kompresivnog, tj. mikrosken, prijemnika [3]. Mesto na kome se u radaru obavlja modulacija izvorom informacije nalazi se na cilju. Pri tome karakteristike cilja su osnovni izvor informacija. Doplerov pomak frekvenčije, koji reflektovanom signalu dodaje radikalnu brzinu cilja, ekvivalentan je frekvenčiji koju kompresivnim prijemnikom detektujemo. Drugim rečima, "množac" se u radarskoj primeni nalazi na cilju.

U ovom radu u drugom poglavljiju opisana je funkcija neodredenosti radara. U trećem poglavljiju data je funkcija neodredenosti kompresivnog prijemnika  $M(s)\cdot C(s)\cdot M^{-1}(s)$ .

## II. RADARSKA FUNKCIJA NEODREĐENOSTI

Kod ispitivanja različitih talasnih oblika pogodnih za primenu u radarama sa kompresijom impulsa, značajnu ulogu ima dvodimenzionalna vremensko - frekvenčna funkcija tj. funkcija neodredenosti.

Neka je normalizovana kompleksna ovojnica linearnog čirp signala data u formi:

$$\mu(t) = \frac{1}{\sqrt{T}} e^{j\pi k t^2} \quad \text{za } |t| < \frac{T}{2}, \quad (1)$$

gde je  $k$  konstanta koja determiniše strminu linearnog čirpa i neka je kompleksna ovojnica impulsnog odziva prilagođenog filtera, za signal linearnog čirpa, data izrazom:

$$h(t) = u \cdot e^{-j\pi k t^2} \quad \text{za } |t| < T/2, \quad (2)$$

Neka je u daljim razmatranjima konstanta  $u=1$ .

Generalna forma odziva prilagođenog filtera, koji opisuje izlaz prilagođenog filtera kada se na ulaz dovodi frekvenčni pomereni signal, data je relacijom:

$$g(\tau, f_d) = \int_{-\infty}^{\tau} s(t) s^*(t - \tau) \cdot e^{j2\pi f_d t} dt. \quad (3)$$

Prethodni izraz pokazuje da se izlaz filtera  $g(t, f)$  dobija korelacijom signala i njegove frekvenčni pomerene i vremenski zakašnile replike. Drugim rečima,  $g(t, f)$  je dvodimenzionalna koreaciona funkcija. Ovu funkciju je u radarsku teoriju uveo Vudvord (Woodward) [4,5]. Izraz (3)

iz Vudvordovog rada poznat je kao radarska funkcija neodredenosti i najčešće se obeležava sa  $\chi(t, f)$ .

$$\chi(\tau, f_d) = \int_{-\infty}^{\tau} \mu(t) \mu^*(t - \tau) \cdot e^{j2\pi f_d t} dt. \quad (4)$$

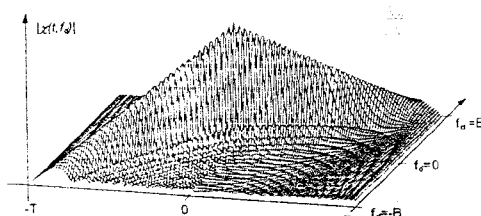
Na osnovu izraza (1), (3) i (4) izlaz prilagođenog filtera za signal linearnog čirpa u intervalu  $|\tau| \leq T$

$$\chi(\tau, f_d) = \begin{cases} \frac{\sin[\pi T(f_d + k\tau)\left(1 - \frac{|\tau|}{T}\right)]}{\pi T(f_d + k\tau)} \cdot e^{j\pi f_d \tau}, & \text{za } |\tau| \leq T \\ 0, & \text{za } |\tau| > T \end{cases}, \quad (5)$$

dok je za  $|\tau| > T$  funkcija  $\chi(\tau, f_d) = 0$ . Za najveći broj razmatranja važna je realna ovojnica odziva prilagođenog filtera,  $|\chi(t, f)|$ :

$$|\chi(\tau, f_d)| = \begin{cases} \frac{\sin[\pi T(f_d + k\tau)\left(1 - \frac{|\tau|}{T}\right)]}{\pi T(f_d + k\tau)} & \text{za } |\tau| \leq T \\ 0 & \text{za } |\tau| > T \end{cases}. \quad (6)$$

Na osnovu prethodnog izraza na slici 1, u vremensko-frekvenčnoj ravni, prikazana je funkcija neodredenosti linearnog čirpa  $|\chi(t, f)|$ , odnosno odziv prilagođenog filtera. Doplerovi pomaci frekvenčije dodati su signalu čirpa i kontinualno se menjaju od  $-B$  do  $B$ , gde je  $B = kT$ .



Slika 1. Funkcija neodredenosti signala linearnog čirpa.

Kao što se na slici i vidi, za funkciju neodredenosti signala čirpa karakteristična su sledeća svojstva:

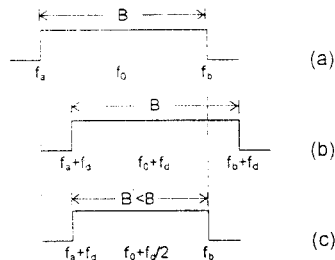
1. vremenski pomak centralnog pika,
2. opadanje amplitude centralnog pika i
3. povećanje širine centralnog pika.

Prvo svojstvo karakteristično je za sve tipove čirpa, kao i za neke talasne oblike, izvedene iz njega. Ako se na ulaz prilagođenog filtera dovede frekvenčni pomereni signal čirpa na izlazu se dobija vremenski pomereni impuls odziva. Ova osobina kod radara je nepoželjna jer unosi neodredenost merenja daljine i brzine. Naiče, radarski prijemnik ne može samostalno, iz primjenog reflektovanog signala, da odredi preciznu poziciju cilja jer Doplerov

pomak dodaje komponentu koja se ispoljava kao pomak po daljini. S druge strane, ovakav odziv prilagođenog filtera, nepoželjan kod radara, poželjan je kod kompresivnog prijemnika i čini njegovu suštinu.

Druge svojstvo funkcije neodređenosti čirpa, ograničenje amplitude centralnog pika, može se uočiti na slici 1, gde je prikazan odziv prilagođenog filtera za različite Dopleirove pomake. Izlazi prilagođenog filtera za različite frekvenčne pomake ulaznog signala, kao što se na slici vidi, ograničeni su trougaonim funkcijom. Ova funkcija je autokorelacija pravougla ovojnica signala na ulazu u prilagođeni filter. Za kompletno tumačenje funkcije neodređenosti važno je razumevanje faktora  $1 - \tau^2$  u izrazu (6). Ovaj faktor smanjuje amplitudu na izlazu prilagođenog filtera sa porastom frekvenčnog pomaka ulaznog signala. Ovo je efekat konačnog trajanja signala. Relativno kašnjenje  $\tau$  skraćuje efektivno trajanje signala od  $T$  na  $T - \tau$ , proporcionalno smanjujući izlaznu amplitudu.

Treće svojstvo, proširenje glavnog snopa odziva prilagođenog filtera, posledica je ograničenja spektra koje unosi prilagođeni filter svojim propusnim opsegom, kao što je na slici 2 prikazano.



Slika 2. Iznalni spektar signala modifikovan propusnim opsegom prilagođenog filtera: a) propusni opseg prilagođenog filtera; b) frekvenčni pomeren spektor ulaznog signala; c) rezultujući spektor na izlazu prilagođenog filtera.

### III. FUNKCIJA NEODREĐENOSTI KOMPRESIVNOG PRIJEMNIKA

U odnosu na relativno trajanje signala čirpa  $T_M$  na prvom množaču i impulsnog odziva kompresivnog filtera (konvolvera)  $T_C$ , postoje dva tipa kompresivnih prijemnika [6]:

1. M(s)-C(l)-M gde je  $T_M < T_C$  (long convolver) i
2. M(l)-C(s)-M gde je  $T_M > T_C$ . (long multiplier)

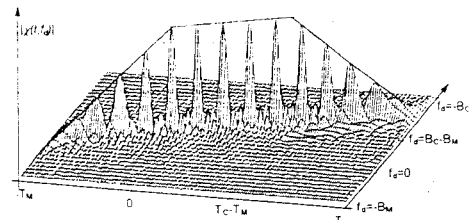
#### M(s)-C(l)-M tip kompresivnog prijemnika

Za M(s)-C(l)-M tip kompresivnog prijemnika kompresivni filter (konvolver) jeste prilagođeni filter samo u delu frekvenčnog opsega. U ovom slučaju odziv konvolvera  $|g(t, f)|$  za različite frekvenčne pomake  $f$  signala čirpa, odnosno funkcija neodređenosti  $|\chi(t, f)|$  na osnovu izraza (6) biće:

$$\begin{aligned} \chi(\tau, f) &= \frac{\sin[\pi T_M(f + k\tau)](1 + \frac{\tau}{T_M})}{\pi \sqrt{T_M T_C(f + k\tau)}} \quad \text{za } \tau < T_M \quad \tau \leq 0, \\ \chi(\tau, f) &= \frac{\sin[\pi T_M(f + k\tau)]}{\pi \sqrt{T_M T_C(f + k\tau)}} \quad \text{za } 0 < \tau \leq T_C - T_M, \\ \chi(\tau, f) &= \frac{\sin[\pi T_M(f + k\tau)](1 - \frac{\tau - (T_C - T_M)}{T_M})}{\pi \sqrt{T_M T_C(f + k\tau)}} \quad \text{za } T_C - T_M < \tau \leq T_C. \end{aligned} \quad (7)$$

Prihodna relacija izvedena je uz pretpostavku da je najniža frekvenca signala čirpa prvi množač jednaka najnižoj frekvenci impulsešnog odziva konvolvera, a najviša frekvenca čirpa prvi množač manja od najviše frekvence impulsešnog odziva kompresivnog filtera.

Na osnovu prethodnog izraza vremensko-frekvenčni odziv kompresivnog filtera za 14 frekvenčnih pomaka  $\chi(t, f)$  prikazan je na slici 3.



Slika 3. Vremensko-frekvenčni odziv kompresivnog filtera za M(s)-C(l)-M tip kompresivnog prijemnika.

Može se videti da je za odziv kompresivnog prijemnika M(s)-C(l)-M tip karakteristično nekoliko intervala:

1. Kada je frekvenca na ulazu manja od  $f_a - B_M$ ,  $f < f_a - B_M$ , odziv kompresivnog filtera jednak je 0.
2. Kada je frekvenca na ulazu veća od  $f_a - B_M$ , a manja od  $f_a$ ,  $f_a - B_M < f < f_a$ , odziv kompresivnog filtera po amplitudi linearno raste sa  $f$  i maksimalnu vrednost dostiže u  $f = f_a$ , dok se detekcija na izlazu vrši se u intervalu  $-T_M < t < 0$ .
3. Maksimalna vrednost amplitute ostaje sve dok je  $f < f_a + B_C - B_M$ , a detekcija se vrši u intervalu  $0 < t < T_C - T_M$ .
4. Zatim amplituda opada sve dok je  $f < f_a + B_C = f_b$ , a detekcija na izlazu kompresivnog prijemnika vrši se u intervalu  $T_C - T_M < t < T_C$ .
5. Posle  $f > f_b$ , odziv je jednak nuli.

Daljom analizom izraza (7) možemo zaključiti da, kao i u slučaju radara, postoji vremenski pomak centralnog pika za različite pomake frekvenčne ulaznog signala. Kao što je ranije istaknuto, ova osobina čini suštinu kompresivnog prijemnika. Naime, kompresivni prijemnik omogućava transformaciju frekvenčnog domena u vremenski na taj način što frekvenčni razdvojene komponente ulaznog signala pretvara u vremenski razdvojene komponente izlaznog signala.

Iz izraza (7) može se uočiti da u 2.-i 4.-intervalu postoji gubitak u amplitudi centralnog pika ako se apsolutna vrednost frekvenčnog pomaka povećava. Član  $1 - \tau/T_M$  u izrazu (7) utiče da se u drugom intervalu

amplituda linearno menja (opada) sa porastom apsolutne vrednosti frekvenčijskog pomaka. Ovaj efekat može se objasniti i u frekvenčijskom domenu, kao nepoklapanje frekvenčijskog opsega ulaznog, frekvenčijski pomaknutog signala čirpa, s opsegom kompresionog filtera. Kada je pomak frekvenčije negativan dolazi do suženja frekvenčijskog opsega izlaza kompresionog filtera i smanjenja amplitude ulaznog signala.

Na isti način, član  $1 + [z^{-1}I_c - T_M]^{-1}$  u izrazu (7) utiče na smanjenje centralnog pika u četvrtom intervalu. Drugim rečima, postoji i efektivno smanjenje frekvenčijskog opsega signala na izlazu kompresionog filtera za frekvenčijske pomake veće od  $B_C - B_M$ .

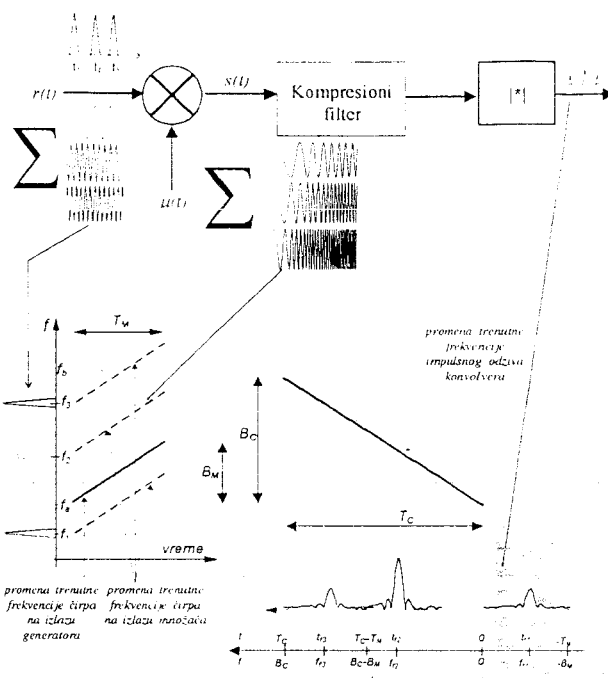
U trećem intervalu može se videti da ne postoji član  $1 + \tau/T_{M'}$ , pa je amplituda odziva kompresionog filtera konstantna. Gledano u frekvenčijskom domenu, kada je ulazni frekvenčijski opseg pomaknut, ali za vrednost manju od  $B_C - B_M$ , izlaz kompresionog filtera ima širim spektrom, nego na ulazu.

Kao što se na slici 3 vidi, izlazi kompresionog filtera, za različite frekvenčijske pomake čirpa na ulazu, ograničeni su trapeznom funkcijom. Ova funkcija ustvari predstavlja kroskorelaciju pravougaonih ovojnica signala čirpa množića i impulsnog odziva kompresionog filtera.

Treće svojstvo odziva prilagođenog filtera kod radara, prošireuje centralnog pika s porastom Doplerovog pomaka frekvenčije, može se uočiti i kod kompresivnog prijemnika u intervalima 2 i 4. To je posledica suženja frekvenčijskog opsega signala na izlazu kompresionog filtera. Na slici 4 prikazan je princip rada kompresivnog prijemnika M(s)-C(l)-M tipa.

### M(l)-C(s)-M tip kompresivnog prijemnika

Za M(l)-C(s)-M tip kompresivnog prijemnika kompresion filter (konvolver) nije prilagođen ni u jednom delu frekvenčijskog opsega. Pošto je apsolutna vrednost strmine  $|k|$  jednaka za signal čirpa i impulsni odziv kompresionog filtera,  $B_C = kT_C$  je manje od  $B_M = kT_M$ . Na osnovu izraza (6) biće:



Slika 4. Princip rada kompresivnog prijemnika M(s)-C(l)-M tipa.

$$x(\tau, f) = \frac{\sin[\pi T_M(f + k\tau)\left(1 + \frac{\tau}{T_M}\right)]}{\pi \sqrt{T_M T_C}(f + k\tau)} \quad \text{za } -T_M < \tau \leq T_C - T_M.$$

$$x(\tau, f) = \frac{\sin[\pi T_M(f + k\tau)]}{\pi \sqrt{T_M T_C}(f + k\tau)} \quad \text{za } T_C - T_M < \tau \leq 0, \quad (8)$$

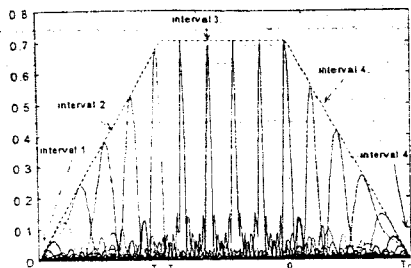
$$x(\tau, f) = \frac{\sin[\pi T_M(f + k\tau)\left(1 - \frac{\tau - (T_C - T_M)}{T_M}\right)]}{\pi \sqrt{T_M T_C}(f + k\tau)} \quad \text{za } 0 < \tau \leq T_C.$$

Analizom izraza (8) može se videti da izlaz kompresivnog prijemnika M(s)-C(l)-M tipa sadrži u odnosu na M(l)-C(s)-M tip dve bitne razlike:

1. Intervali u kojima se detekcija vrši sa izobličenjem i interval u kojem se vrši bez izobličenja (ravni deo karakteristike) u drugačijem su redosledu u odnosu na kompresivni prijemnik M(l)-C(l)-M tipa.

2. Ravn deo karakteristike je prigušen za faktor  $T_C/T_M$ , što se iz izraza (8) vidi. Drugim rečima, što je dužina signala čirpa prvog množića  $T_M$  veća, ravn deo karakteristike je duži, ali je više prigušen.

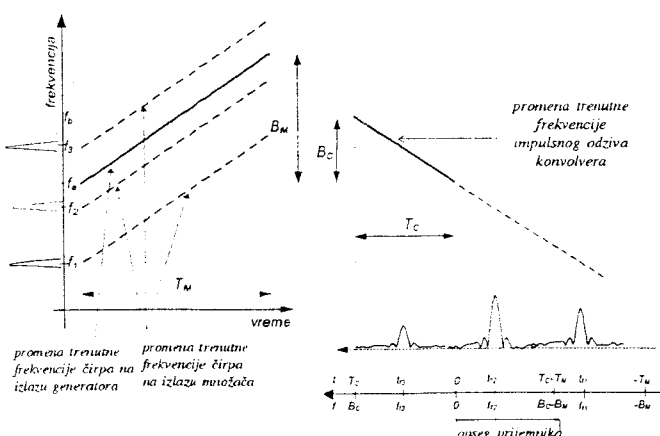
Izlaz konvolvera za različite pomake frekvencije (14 diskretnih frekvencijskih pomaka u intervalu  $-B_M$  do  $B_C$ ) prikazan je na slici 5.



Slika 5. Odziv kompresivnog prijemnika, kada se na ulaz doveđe signal sa 14 frekvencijskih komponenti u opsegu od  $f_a-B_M$  do  $f_a+B_C$ .

Kao u slučaju kompresivnog prijemnika  $M(s)-C(l)-M$  tipa izlazi kompresionog filtera, za različite frekvencijske pomake čirpa na ulazu, ograničeni su trapeznom funkcijom (kreskorelacija ovojnici signala čirpa množači i impulsnog ozivja konvolvera) i može se izdvojiti 5 intervala:

1. Za frekvencije na ulazu  $f$  manje od  $f_a-B_M$  odziv kompresivnog prijemnika jednak je nuli.
2. Za frekvenciju na ulazu  $f=f_a-B_M$  izlaz kompresivnog prijemnika po amplitudi raste i maksimalnu vrednost dostiže kada je na ulazu  $f=f_a-B_M+B_C$ . Detekcija na izlazu vrši se u intervalu  $-T_M \leq t \leq T_M$ .
3. Maksimalna vrednost amplitude zadržava se dok je  $f < f_a$ , a detekcija se vrši u intervalu  $T_c-T_M < t \leq 0$ .
4. Amplituda zatim opada sve do  $f=f_a+B_C$ , i detekcija frekvencijskih komponenti na izlazu vrši se u intervalu  $0 < t \leq T_c$ .
5. Za ulazne frekvencije signala  $f > f_a+B_C$  odziv kompresivnog prijemnika jednak je nuli.



Slika 6. Princip rada prijemnika  $M(l)-C(s)-M$  tipa.

Promene koje se dešavaju na signalu pri prolasku kroz kompresivni prijemnik u vremenskom i frekvencijskom domenu prikazane su na slici 6.

Funkcija neodređenosti radara predstavlja granični slučaj funkcije neodređenosti kompresivnog prijemnika gde je  $T_M=T_c$ .

#### IV. ZAKLJUČAK

Funkcija neodređenosti kompresivnog prijemnika, koju smo u ovom radu izveli, opisuje promene koje se na signalu dešavaju u vremenskom i frekvencijskom domenu. Sprovedene analize ukazuju na sličnost i razlike funkcija neodređenosti kompresivnog prijemnika i radara.

U daljem radu biće razvijeni algoritmi kojima se optimizuje odsečak funkcije neodređenosti kompresivnog prijemnika.

#### LITERATURA

- [1] R. G. Wiley, "Electronic intelligence: the analysis of radar signals", Artech House, 1985
- [2] J. B. Y. Tsui, "Microwave receivers with electronic warfare applications", Krieger publishing company, 1992 (reprint orig. edition 1986).
- [3] A.J.Zejak, I.S.Simić, "Interpretacija kompresivnog prijemnika pomoću radarske funkcije neodređenosti", zbornik radova TELFOR'97, 1997, str.226-229.
- [4] C. E. Cook, M. Bernfeld, "Radar signals, an introduction to theory and applications", Chapter 7, Academic Pres, New York, 1967.
- [5] A.W. Rihaczek, "Principles of High - Resolution Radar", McGraw-Hill New York, 1969.
- [6] M. A. Jack, P. M. Grant, J. H. Collins, "The Theory, Design, and Applications of Surface Acoustic Fourier-Transform Processors", Proc. of the IEEE, Vol. 68, No 4, April 1980, pp 450-468.

**Abstract** - In this paper ambiguity function of the compressive receiver is analyzed. On the basis of equations known in radar theory, we found equations for compressive receiver ambiguity function describing its time-frequency characteristics.

#### COMPRESSIVE RECEIVER AMBIGUITY FUNCTION

A. J. Zejak, I. S. Simić